

Рис. 3. Модель смещения в аппарате с негладким ротором.

риала между секциями 1 и 3, 2 и 1, 3 и 2; T_1, T_2, T_3 — безразмерная температура в секциях аппарата. За масштаб температуры примем ее начальный перепад между секциями: $Y_1 = T_1 - T_2$, $Y_2 = T_2 - T_3$, $Y = T_3 - T_1$, $t = tQ/V$, $q = 3Qn/V$, $w = 3Qn/W$.

Уравнения модели имеют следующий вид:

$$\begin{aligned} \frac{dY_1}{dt} &= q(Y_3 - Y_1) + w(Y_1 - Y_2) \\ \frac{dY_2}{dt} &= q(Y_1 - Y_2) + w(Y_3 - Y_2) \quad (10) \\ \sum_i Y_i &= \text{const} \end{aligned}$$

с начальными условиями: $Y_1 = 1$, $Y_2 = Y_3 = 0$

Анализ системы уравнений (10) показывает, что в зависимости от соотношения значений q и w решение $Y_i(t)$ имеет монотонный или колебательный характер, причем монотонное решение возможно только при $q = w$:

$$Y_i = \exp(-qnt) \quad (11)$$

Экспериментальные исследования проводили на модели трехсекционного аппарата с ротором, имеющим три симметрично расположенные полукруглые канавки. Секция 1 аппарата заполнялась средой с температурой, отличающейся от температуры среды в двух других секциях. Измеряли перепад температуры между секциями 1 и 2. При этом было установлено, что после включения мешалки перепад температур между соседними секциями в направлении вращения ротора монотонно уменьшается во времени.

Сопоставление выражения (11) с результатами эксперимента позволило определить

зависимость q от конструктивных параметров аппарата:

$$q = 0,23(3v/V)$$

где v — объем одной выемки на роторе.

Сравнение расчетных и экспериментальных данных показало, что соотношения (11) и (12) удовлетворительно описывают процесс макросмешения.

Таким образом, на основе моделей микромакросмешения высоковязких сред развит подход к интенсификации этих процессов, предложены эффективные конструктивные решения применительно к реакторам полимеризации при высокой вязкости среды, а также методы их инженерного расчета.

Литература

- Брагинский Л. Н., Бегачев В. И., Бараш В. М. Перемешивание в жидких средах. Л., Химия, 1984.
- Кокотов Ю. В. и др. Тезисы докладов всесоюзной конференции «Химреактор-10», Куйбышев — Тольятти, 1989, с. 35—40.

УДК 678.746.222.046.027.74

Наполненные композиционные материалы для изготовления крупногабаритных литьевых изделий

В. И. КУЗНЕЦОВ, А. С. ЛУНИН,
В. А. ЗЛОБИНА, Л. Б. ЛОНЬ

В последнее время в автомобилестроении расширяется применение композиций на основе наполненного полипропилена (ПП) и сополимеров пропилена с другими мономерами. Возможность их переработки методом литья под давлением в различные изделия, в том числе сложной конфигурации, и достаточно высокий уровень эксплуатационных свойств таких изделий обеспечивают значительное увеличение объема потребления этих полимеров в автомобилестроении. Модифицированный ПП широко используют за рубежом для изготовления панелей легковых автомобилей [1]. Однако композиции на основе наполненного ПП, выпускаемые отечественной промышленностью, не отвечают предъявляемым требованиям по стойкости к воздействию ударных нагрузок и прочности в зоне спая, т. е. в месте слияния потоков расплава термопластов из разных

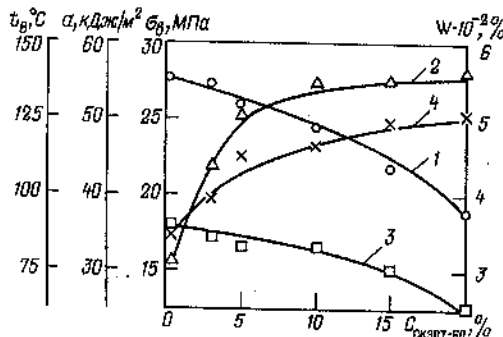


Рис. 1. Зависимость разрушающего напряжения при растяжении (1), ударной вязкости (2), температуры размягчения по Вика (3) и водопоглощения (4) ПП от содержания каучука.

литниковых каналов. Пониженный уровень этих свойств обусловлен наличием в композициях минеральных наполнителей, применение которых необходимо для повышения других показателей материала (формоустойчивости, жесткости, твердости и др.).

Литниковая система горячеканальной оснастки для изготовления приборной панели включает 6—12 литниковых каналов. В месте сопряжения потоков расплава, как правило, снижается прочность и стойкость материала к воздействию ударных нагрузок. Образование «холодного спая» особенно характерно для наполненных полимеров [2] из-за формирования дефектной структуры полимерной матрицы и влияния на нее поверхности наполнителя.

Для изготовления литьем под давлением приборной панели легкового автомобиля и других изделий сложной конфигурации получены наполненные композиции на основе ПП марки 21030, сополимера пропилена с этиленом марки 22030 и смеси ПП марки 21030 с 5—20 % этиленпропилендиенового каучука марки СКЭПТ-60. В качестве наполнителей применяли мел и тальк как промышленного производства, так и лабораторные образцы. Композиции изготавливали смешением компонентов в смесителе типа Бенбери при 170—180 °С в течение 5—7 мин.

Свойства образцов, полученных методом литья под давлением, оценивали по стандартным методикам. Разрушающее напряжение при растяжении (σ_s) и ударную вязкость (a) в зоне «холодного спая» композиций определяли с использованием специальных образцов, отличающихся от стандартных наличием такого спая в их средней части. Стандартные образцы и

образцы с «холодным спаем» изготавливали в одной форме со специальной схемой расположения литниковых каналов и гнезд отливки образцов. Мезаническую прочность изделий оценивали по коэффициенту изменения a и σ_s композиций в месте сопряжения потоков расплава. Коэффициент изменения показателей представляет собой отношение среднеарифметического значения показателей для образца со спаем, разделяющим его симметрично по центру, к среднеарифметическому значению тех же показателей для образца с такими же стандартными размерами, но без спая. Оценивали также свойства панелей из наполненных композиций.

Свойства базовых марок полимеров известны и регламентированы соответствующими стандартами. ПП марки 21030 уступает сополимеру пропилена с этиленом марки 22030 по стойкости к воздействию ударных нагрузок. Повысить a ПП можно путем его модификации каучуком, в частности СКЭПТ-60. С увеличением количества каучука a материала возрастает (рис. 1), что подтверждает образование в системе каучуковой фазы, способной рассеивать энергию удара. Однако при этом прочность, теплостойкость и водостойкость материала снижаются. Значения a ПП с

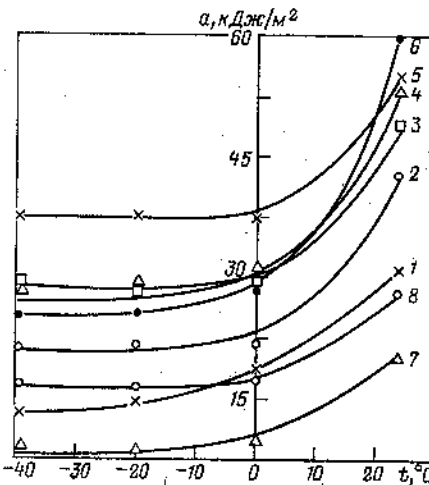


Рис. 2. Зависимость ударной вязкости в зоне «холодного спая» ПП с различным содержанием каучука, композиций на его основе и сополимера пропилена с этиленом от температуры:

- 1 — исходный ПП;
- 2 — ПП+5 % СКЭПТ-60;
- 3 — ПП+10 % СКЭПТ-60;
- 4 — ПП+15 % СКЭПТ-60;
- 5 — ПП+20 % СКЭПТ-60;
- 6 — исходный сополимер пропилена с этиленом;
- 7 — ПП+10 % мела+5 % талька;
- 8 — ПП+10 % мела+5 % талька+15 % СКЭПТ-60.

Свойства наполненных композиций на основе сополимера пропилена с этиленом

Содержание наполнителя (в %) с размером частиц, мкм			Соотношение талька:мел (по массе)	Содержание смеси наполнителей, %	Коэффициент изменения a в зоне «холодного спая»		Коэффициент изменения σ_a в зоне «холодного спая» при 23 °C
5	5—10	10—20			при 23 °C	при —40 °C	
1,0	5,0	0,7	0,5:1	20	0,85	0,8	0,9
0,1	4,5	7,0					
2,0	4,2	0,9	1,0:1	15	0,9	0,85	0,9
0,4	5,0	8,0					
3,0	4,5	0,9	0,5:1	30	0,8	0,8	0,85
0,5	4,0	8,5					
1,0	5,0	0,7	1,5:1	30	0,5	0,45	0,55
0,1	4,5	7,0					
1,0	5,0	0,5	1,0:1	30	0,55	0,5	0,6
0,1	4,5	7,0					
2,0	4,2	0,9	1,0:1	40	0,5	0,4	0,5
0,4	5,0	8,0					

Приложение. Числитель — мел, знаменатель — тальк.

15 % СКЭПТ-60 и сополимера пропилена с этиленом марки 22030 практически совпадают. С учетом того, что минеральные наполнители могут повышать прочностные показатели и теплостойкость полимера, такое количество каучука (15 %) было выбрано в качестве оптимального. О нецелесообразности дальнейшего увеличения содержания каучука в ПП свидетельствует и характер зависимости a в зоне «холодного спая» модифицированного ПП от температуры (рис. 2). Смесь полимеров отличается значительной гетерогенностью в выбранном технологическом режиме получения, которая сохраняется даже в оптимальных условиях изготовления смеси и образца с «холодным спаем». В связи с этим сополимер пропилена с этиленом предпочтителен в качестве полимерной основы композиционного материала.

Минеральные наполнители снижают a образца сополимера в зоне «холодного спая» во всем исследованном интервале температур, причем мел влияет на этот показатель в меньшей степени, чем тальк. Такая закономерность наблюдается для всех композиций. В то же время модуль упругости при растяжении и разрушающее напряжение при изгибе композиций, наполненных тальком, выше, чем композиций с мелом, что можно объяснить анизотерией частиц этого наполнителя. Композиции с мелом имеют более высокие прочностные показатели в зоне спая, чем композиции с тальком. Так, коэффициент

изменения σ_a для ПП с 20 % мела при 23 °C составляет 0,9 а ПП с 20 % талька — 0,7. Однако композиции, содержащие мел, не обеспечивают необходимой формостойчивости и жесткости крупногабаритных изделий. В связи с этим представляло интерес оценить эффективность применения смеси мела и талька.

Влияние поверхности наполнителей на полимерную матрицу и, следовательно, качество «холодного спая», по-видимому, изменяется в зависимости от удельной поверхности и гранулометрического состава наполнителей. Анализ полученных данных (таблица) показал, что наибольшую прочность композиций в зоне спая обеспечивают смеси наполнителей, в которых массовое соотношение талька и мела для фракций с диаметром (d) частиц ≤ 5 мкм составляет 0,1:1, для фракций с $d=5—10$ мкм — 1,0:1 для фракций с $d=10—20$ мкм — 9,0:1, а суммарное соотношение талька и мела — (0,5—1,0):1. При этом содержание наполнителей в композиции не должно превышать 30 %.

С учетом установленных закономерностей были выбраны две композиции: на основе сополимера пропилена с этиленом, содержащего 5 % талька и 10 % мела, для изготовления приборной панели автомобиля ЗАЗ-1102 (ТУ 6-05-05-288—88) и на основе ПП, наполненного 15 % мела и 15 % талька, для производства деталей автоматических стиральных машин (ТУ 6-05-05-283—86). Композиции прошли испытания в промыш-

ленных условиях и рекомендованы к внедрению в производство. Они могут быть также использованы для изготовления на горячеканальной оснастке других изделий, в том числе крупногабаритных сложной формы.

Литература

- Яп. заявка 63-61054.
- Брилов Л. А., Листков В. М., Мнацаканов С. С. Литье под давлением изделий сложной формы из наполненного полиэтилена. Л., ЛДНТИ, 1979.

УДК 678.744.422:620.178.5

Вибропоглощающая мастика «Адем-НШ-2»

А. Г. РОДИОНОВ, Б. Д. ВИНОГРАДОВ,
В. Н. ПАВЛЮЧЕНКО, В. Ф. БАБАНИН

Вибропоглощающую мастику «Адем-НШ» [1] применяют для снижения уровня шума в судовых помещениях [2, 3]. Однако наряду с высокой демпфирующей способностью, адгезией к металлам и стеклопластикам, огнестойкостью и низкой токсичностью этот материал обладает и рядом недостатков, основным из которых является низкая стабильность вибрационных свойств получаемого из него покрытия. Так, после 3 лет эксплуатации демпфирующая способность покрытия снижается более чем на 50 %: коэффициент механи-

ческих потерь (η) стальной пластины, защищенной двойным по толщине слоем вибропоглощающего покрытия, при частоте 1 кГц и температуре 20 °С уменьшается с 0,19 до 0,07. Поэтому такое покрытие непригодно в качестве основы противовибрационного комплекса на современных судах, срок службы которых достигает 25 лет.

С целью устранения указанного недостатка проведена оптимизация химического состава композиции, а также физических и физико-химических свойств ее компонентов. Новый материал — вибропоглощающая мастика «Адем-НШ-2» обладает ценным комплексом эксплуатационных свойств, присущих мастике «Адем-НШ», и значительно большей стабильностью вибрационных характеристик формируемых из него демпфирующих покрытий. Лабораторные испытания показали, что η стальной пластины, демпфированной двойным по толщине слоем покрытия, при частоте 1 кГц и температуре 20 °С за 3 года снижается не более чем на 8—10 % (с 0,19 до 0,17). Это подтверждается и результатами эксплуатационных испытаний мастики «Адем-НШ-2» на грузовых судах (общий объем потребления материала в настоящее время превышает 200 т), причем в ряде случаев свойства покрытия полностью сохраняются в течение 6—7 лет. Полученные данные свидетельствуют о высокой эффективности применения демпфирующего покрытия в судостроении.

Для максимальной реализации свойств мастики «Адем-НШ-2» разработана промышленная технология ее получения и

Результаты статистической обработки данных испытаний серийных образцов мастики «Адем-НШ-2»

Показатель	Нормированное значение	Среднеарифметическое значение	Ошибка, среднеарифметического значения	Среднеквадратичное отклонение	Интервал с вероятностью 0,8
Плотность, кг/м ³ мастики покрытия	≤ 1500 ≤ 1500 $\geq 0,5$	1299 1244 2,7	± 9 ± 19 $\pm 0,12$	± 53 ± 113 $\pm 0,72$	1235—1335 1134—1319 1,8—3,3
Сопротивление сдвигу адгезионного соединения покрытия с загрунтованной сталью, МПа	$\geq 0,18$	0,19	$\pm 0,003$	$\pm 0,018$	0,17—0,21
Коэффициент механических потерь энергии изгибных колебаний* стального стержня, демпфированного покрытием					
Подвижность мастики, см в течение 1 сут. после изготовления через 1 сут. после первого измерения	14 ± 4 11 ± 4	11,1 10,2	$\pm 0,15$ $\pm 0,34$	$\pm 0,90$ $\pm 2,0$	9,7—11,8 8,0—11,7

* При температуре 20 °С и частоте 200—800 Гц.